文章编号: 1003-1545(2013) 01-0032-04

真空热压烧结制备 $Mo10/Cu - Al_2 O_3$ 复合材料 及其载流磨损性能研究

陈卫

(中国船舶重工集团公司第七二五研究所,河南 洛阳 471023)

摘 要: 在 VDBF – 250 真空热压烧结炉中 采用真空热压烧结工艺制备了 Mo10/Cu – Al_2O_3 复合材料 观察显微组织 并测试性能。在 HST100 载流高速摩擦磨损试验机上研究了载流磨损机理。结果表明 ,该材料致密度为 98. 23% 组织较为致密; 显微硬度为 116 HV ,导电率为 41. 33% IACS; Mo10/Cu – Al_2O_3 复合材料的磨损形式为粘着磨损、磨粒磨损和电弧烧蚀磨损。

关键词: 真空热压烧结; Mo10/Cu - Al₂O₃ 复合材料; 显微组织; 性能; 磨损机理

中图分类号: TG146 文献标识码: A

Preparation of Mo10/Cu – Al₂O₃ Composite by Vacuum Hot – pressing and Current – carrying Wear Performance

CHEN Wei

(Luoyang Ship Material Research Institute, Luoyang 471023, China)

Abstract: In VDBF -250 vacuum hot pressing sintering furnace $,Mo10/Cu-Al_2O_3$ composite was prepared by vacuum - pressed sintering. The microstructure and properties of the composite were observed and tested , and the wear mechanism of the composite in current carrying was investigated on HST100 carrier high - speed friction and wear tester. The results show that the density , microhardness and electrical conductivity of the composite are 98.23% , 116 HV and 41.33% IACS and the wear character of the composites are adhesive , abrasive and arc erosion wear.

Keywords: vacuum - pressed sintering; Mo10/Cu - Al₂O₃ composite; microstructure; properties; wear mechanism

钼铜复合材料综合了钼和铜的优点,具有热膨胀系数低、导电导热率高、耐热性好、耐磨性好、抗熔焊性好等优点 $^{[1-4]}$ 。具有优异综合性能的 $Mo/Cu-Al_2O_3$ 复合材料已被广泛研究。

传统制备钼铜合金的工艺有熔渗法、溶胶 - 凝胶法、液相烧结法和机械合金化法。而制备高密度钼铜合金的烧结方法有重复烧结、二步烧结、固相烧结、活化液相烧结等^[5-6]。但是由于钼铜互不相溶,烧结性能较差,导电、导热性能差 难以实现完全的烧结致密化和均匀的微观结构 而通常情况下采用固相烧结制备的材料在烧结时易产生膨胀 难以烧结致密^[7]。本文拟采用内氧化 - 真空热压烧结法制备 Mo10/Cu - Al₂O₃

复合材料,并测试性能。研究该材料载流条件下的磨损机理,为电触头的生产、应用提供理论基础。

1 试验材料及方法

原料采用工业 Mo 粉 ,纯度 99. 9% ,粒度为 4. 7 μ m; 由水雾法制得的 Cu - 0. 58% Al 粉 ,纯度 99. 9% ,粒度为 67 μ m; 内氧化氧源为 Cu $_2$ O ,粒度为 75 μ m。原料按质量分数 10% Mo - 90% (Cu - 0. 58% Al 粉 + Cu $_2$ O) 称重 ,由于粉末细小 ,在混粉过程中易出现团聚现象。因而先采用手工研磨 ,然后在 QQM/B 轻型球磨机上混

收稿日期: 2012 - 07 - 26

作者简介: 陈卫 ,1968 年生 ,男 ,河南偃师人 ,高级工程师 ,主要从事高性能铜合金材料研究制造。

粉 20 h。真空热压烧结的工艺为: 手工和机械 混粉→装炉→抽真空→升温→保温→加压→保 温→加压→降温取样。真空热压烧结的主要参 数为: 真空度 1.510 -2 Pa 烧结温度 950 ℃ ,压 制压力30 MPa,保温时间2h,保压时间1h。真 空热压烧结采用自制石墨模具,在 VDBF - 250 真空热压烧结炉中进行烧结。烧结后试样尺寸 φ60 mm×27 mm。采用阿基米德排水法测量密 度; 用 D60K 数字金属电导率测量仪测量导电 率; 利用 HVS - 1000 型数显显微硬度计测量硬 度 ,载荷为2 N ,加载时间为10 s ,每个试样测量 次数不少于 5 次,测量误差为 5%;在 HST100 载流高速摩擦磨损试验机上测试载流磨损性 能,试样尺寸 ϕ 10 mm × 25 mm ,接触压力为 60 N, 电流分别为 0 A、30 A 和 70 A, 磨损时间 1 min; 利用 JSM - 5610LV 型扫描电镜观察显微 组织及磨损形貌。

2 试验结果及分析

2.1 微观组织观察

图 1 为真空热压烧结制备的 Mo10/Cu - Al₂O₃ 复合材料的微观组织。在形貌图中,弥散铜基体组织较为致密,看不到明显的空隙。连续致密的灰黑色相为弥散铜基体,灰白色颗粒相分布为 Mo,均匀地分布在弥散铜基体上,没有 Mo颗粒团聚。

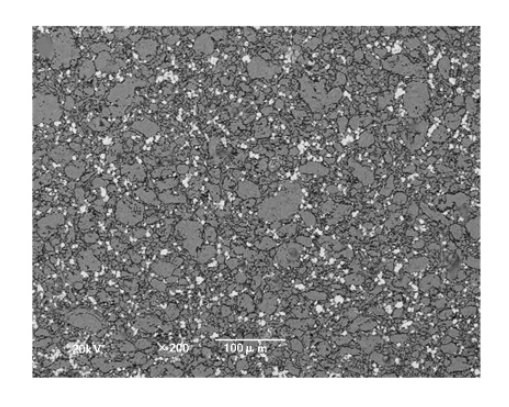


图 1 Mo10/Cu – Al₂O₃ 复合材料的显微组织 Fig. 1 Microstructure of Mo10/Cu – Al₂O₃ composite

2.2 复合材料综合性能

对 $Mo10/Cu - Al_2O_3$ 复合材料和真空热压烧结工艺制备纯铜的性能进行了测试 如表 1 所示。

表 1 Mo10/Cu – Al₂O₃ 复合材料和纯铜的 性能测试结果

Table 1 Mechanical properties and electrical properties of Mo10/Cu – Al₂O₃ composite and pure copper

materials	density /(g/cm³)	efficiency of space filling /%	conductivity % IACS	HV
$Mo10/Cu - Al_2O_3$	8. 85	98. 23	41. 33	116
pure copper	8. 94	99. 80	90.00	75

由表 1 可知 10^{10} Cu $-Al_2O_3$ 复合材料相对真空热压烧结工艺制备纯铜的显微硬度高 10^{10} HV ,增强效果明显。这是由于 10^{10} Al 10^{10}

$$2Cu_2O \rightarrow 4Cu + O_2 \tag{1}$$

$$4Al + 3O_2 \rightarrow 2Al_2O_3 \tag{2}$$

由式(1)和式(2)得到:

$$3Cu_2O + 2Al \rightarrow Al_2O_3 + 6Cu$$
 (3)

由于生成的 Al_2O_3 均匀弥散分布在铜基体上 在塑性变形时,弥散颗粒会阻碍晶界和位错线的运动,增加晶格畸变能,因而能够提高强化效果。但随着 Al_2O_3 弥散颗粒的加入,增强颗粒/基体界面的电子散射作用增强,且界面结合处容易产生热应力。此外,残余在基体中的元素也将提高基体中的杂质浓度,引起导电率的下降^[8]。本实验中复合材料的导电率为 41.33 % IACS 能够满足电触头材料的要求。

在真空热压烧结过程中,致密化可分为 3 个过程: 在热压初期 密度急剧升高,本试验在真空状态下进行,大部分气孔消失,压坯在压力作用下粉体重新排布 晶界滑移引起的局部破裂或塑性流动将空隙填充; 在热压中期,密度的升高显著减弱 在压力作用下 晶格点扩散,晶界中气孔消失;在热压后期外压的作用不太明显,其作用是仅使晶粒贴的更紧 晶界更加密实^[9]。并且烧结温度和保温时间对性能有很大影响,温度过高,保温时间过长 容易使粉末蒸发,使合金的晶粒粗大,性能恶化。过低则对致密化有影响,且内氧化进行缓慢 $^{[10-11]}$ 。本实验在烧结温度 950 %,保温时间 2 h 制备的 Mo10/Cu – 12 O3 复合材料的致密度为 98. 23% 组织较为致密。

2.3 载流磨损形貌分析

图 2 为 Mo10/Cu - Al,O, 复合材料在接触压

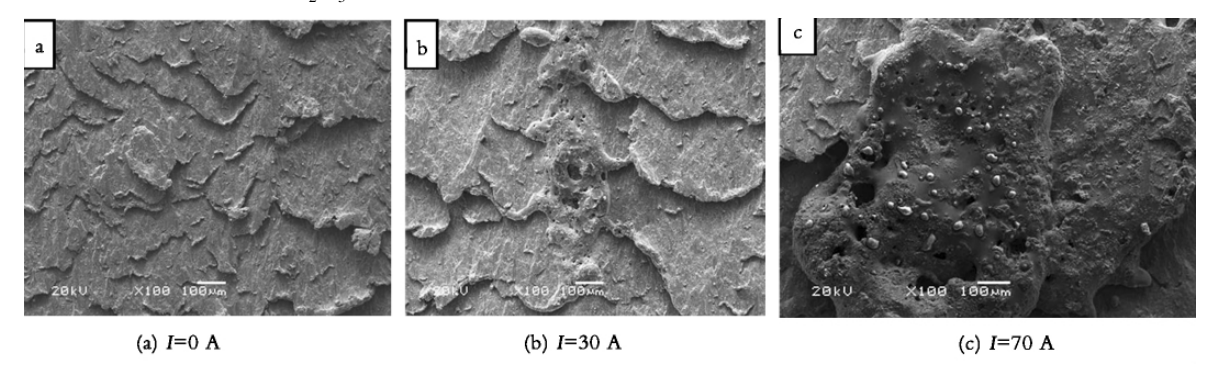


图 2 Mo10/Cu - Al₂O₃ 复合材料在不同条件下摩擦表面形貌

Fig. 2 The friction surface morphology of Mo10/Cu - Al₂O₃ composite materials under different currents

材料的磨损失效形式与摩擦副材料的性质、摩擦条件和环境、摩擦过程中的热效应及其引起的物理化学变化等诸多因素有关[12]。未施加电流时,磨损表面分布着许多较浅的剥落坑(图2(a)),并在滑动方向上有明显的犁沟和微切削痕迹。这说明磨损过程中存在着粘着磨损和磨粒磨损。原因是摩擦副表面温度较低,材料强度和硬度较高、抵抗塑性变形的能力较强,塑性变形较小。

施加电流时,如图 2(b)、(c) 所示,磨损表面较粗糙,且存在较大块状的剥落坑。加载电流后,磨损表面吸收了大量的焦耳热、摩擦热和电弧热,使磨损表面温度急剧上升,超过了复合材料的熔点,发生熔融^[13—15]。经上述分析可得出,在载流下磨损形式主要为粘着磨损、磨粒磨损和电弧烧蚀磨损。

3 结论

- (1) 采用真空热压烧结制备了 $Mo10/Cu-Al_2O_3$ 复合材料 ,其基体为 Al_2O_3 颗粒弥散强化 Cu .在铜基体上弥散分布着较均匀的 Mo 相 ,综合性能良好。复合材料的密度为 98.23% ,显微硬度为 116~HV 相对导电率为 41.33%~IACS。
- (2) $Mo10/Cu Al_2O_3$ 复合材料在载流下磨 损形式主要为粘着磨损、磨粒磨损和电弧烧蚀磨损 并随电流强度的增大而使磨损加剧。 参考文献:
- [1] 韩胜利,宋月清,崔舜,等. Mo-Cu合金的开发

和研究进展[J]. 粉末冶金工业,2007,17(5):40—45.

Han S L , Song Y Q , Cui S , et al. Resear and development of Mo – Cu alloy [J]. Powder Metallurgy Industry , 2007 , 17 (5): 40—45.

- [2] Johnson J, Randall M. Powder metallurgy processing of Mo – Cu for thermal management applications [J]. The International Journal of Powder Metallurgy, 1999, 35(8): 39—48.
- [3] 吕大铭. 钼铜材料的开发和应用[J]. 粉末冶金工业,2000,10(6): 30—33.

 Lu D M. The exploitation and a; lication and application of Mo Cu composites [J]. Powder Metallurgy Industry,2000,10(6): 30-33.
- [4] 刘晓芳. 钼铜合金与 95% 氧化铝瓷的封接技术 [J]. 真空电子技术,2001,(5):50—51.

 Liu X F. Sealing in technology of Mo Cu alloy and 95% Alumina ceramic [J]. Vacuum Electronics, 2001,(5):50—51.
- [5] 韩胜利,蔡一湘,宋月清,等. Mo-Cu合金的几种制备方法[C]. 长沙:全国粉末冶金学术会议论文集 2009:65—70.

Han S L , Cai Y X , Song Y Q , *et al.* Several preparations of Mo – Cu alloys [C]. Chansha: National Congress of Powder Metallurgy of China 2009: 65—70.

- [6] 钱宝光, 耿浩然, 郭忠全, 等. 电触头材料的研究 进展与应用[J]. 机械工程材料, 2004, 28(3): 7—9.
 - Qian B G , Geng H R , Guo Z Q , et al. Development and application of electrical contact [J]. Materials for Mechanical Engineering , 2004 , 28(3): 7—9.
- [7] 于艳梅,杨银仓,李华伦,等.内氧化制备Cu-

- Al_2O_3 复合材料新工艺的研究 [J]. 粉末冶金技术,2000,18(4):252—256.
- Yu Y M , Yang G C , Li H L. A new method for fabrication of $Cu Al_2O_3$ composite by internal oxidation [J]. Powder Metallurgy Technology ,2000 ,18(4): 252—256.
- [8] 刘平,赵冬梅,田保红. 高性能铜合金及其加工技术[M]. 北京:冶金工业出版社,2004.
 Liu Ping, Zhao Dong-mei, Tian Bao-hong. The high performance copper alloy and its processing technology [M]. Beijing: Metallurgical Industry Press 2004.
- [9] 王欣, 胡连喜, 王珩, 等. 机械球磨热压烧结 Mo -50% Cu 合金的组织性能 [J]. 稀有金属材料与工程, 2011, 40(5): 902—905.
 Wang X, Hu L X, Wang H, et al. Microstructure and properties of Mo -50% Cu alloy by mechanical milling and pressure assisted solid state sintering [J]. Rare Metal Materials and Engineering, 2011, 40(5): 902—905.
- [10] 梁淑华,徐磊,方亮,等。Cu Al 合金粉末中 Al 内氧化工艺的分析 [J]。金属学报,2004,40(3): 309—313.

 Liang S H, Xu L, Fang L, et al. Analysis on internal oxidation technology of Al in Cu Al pre alloyed powders [J]. Acta Metallrugica Sinica, 2004,
- [11] 田保红,周洪雷,刘勇,等.真空热压烧结 $Al_2O_3/Cu-Cr$ 复合材料的组织与性能[J].特种 铸造及有色合金,2009,29(2):166—169. Tian B H, Zhou H L, Liu Y, et al. Microstructure and properties of $Al_2O_3/Cu-Cr$ composites prepared by vacuum hot pressed sintering [J]. Spe-

40(3): 309-313.

- cial Casting and Nonferrous Alloys , 2009 , 29(2): 166—169.
- [12] 屈晓斌,陈建敏,周惠娣,等. 材料的磨损失效及其预防研究现状与发展趋势[J]. 摩擦学学报,1999,19(2):187—192.
 Qu X B, Chen J M, Zhou H D, et al. Current state and development trend of the research on material wear failure and failure prevention [J]. TRIBOLO-GY,1999,19(2):187—192.
- [13] 张晓娟,孙乐民,赵彦文,等. 电流对铬青铜/紫铜摩擦学特性的影响[J]. 润滑与摩擦,2007,32(4):90—93.

 Zhang X J, Sun L M, Zhao Y W, et al. Effect of electrical current on tribological behavior of QCr0.5/T2 Cu [J]. Lubrication Engineering, 2007,32(4):90—93.
- [14] 郑秋波,姜国圣,王志法.70MoCu合金室温变形行为与断裂机制[J].稀有金属,2007,31(2):142—147.
 - Zheng Q B; Jiang G S; Wang Z F. Deformation behavior and fracture mechanism of 70MoCu composites at room temperature [J]. Chinese Journal of Rare Metals , 2007 , 31(2): 142—147.
- [15] 李鹏,杜三明,孙乐民,等. 载流条件下铬青铜/纯铜摩擦副摩擦磨损性能研究[J]. 摩擦学学报,2003,23(3):250—252.

Li P , Du S M , Sun L M , et al. Friction and wear behavior of bronze/Cu pair in the presence of electric current [J]. Tribology 2003 23(3):250—252.

(编辑:房威)